

وزن‌دهی تطبیقی دوبعدی در روش بدون شبکه حداقل مربعات گسسته همپوش

سیما کریمی^۱، محسن لشکر بلوک^۲، ابراهیم جباری^{۳*}

۱- دانشجوی کارشناسی ارشد، دانشگاه علم و صنعت ایران

۲- دانشجوی دکتری، دانشگاه علم و صنعت ایران

۳- دانشیار، دانشگاه علم و صنعت ایران

* تهران، کد پستی ۱۳۱۱۴-۱۶۸۴۶

jabbari@iust.ac.ir

چکیده - تحلیل تطبیقی یکی از مطالعات مهم در زمینه روش‌های عددی است. در چند دهه اخیر فعالیت‌های پژوهشی متعددی در این حوزه انجام شده است. هدف نهایی از این تحلیل‌ها، به دست آوردن حل عددی با دقت مطلوب و کمترین هزینه محاسباتی است. هر فرایند تطریف تطبیقی شامل دو بخش اصلی است: بخش اول برآورد کننده خطا و دیگری ابزاری برای فرایند تطریف می‌باشد. یکی از مزایای روش‌های بدون شبکه، انعطاف‌پذیری آنها در فرایندهای تطریف تطبیقی است. روش‌های معمول در تطریف، شامل جابجایی نقاط و اضافه کردن نقاط جدید است. در این مقاله یک روش کم هزینه به نام وزن‌دهی تطبیقی به منظور بالا بردن دقت جواب‌ها در روش بدون شبکه حداقل مربعات گسسته همپوش (CDLS) ارائه شده است. در روش ارائه شده باقی‌مانده‌ها به‌عنوان برآورد کننده خطا به کار گرفته شده و از آنها در تعریف تابع وزن استفاده شده است.

کلیدواژگان: روش‌های بدون شبکه، وزن‌دهی خودکار، حداقل مربعات گسسته همپوش.

۱- مقدمه

روش‌های بدون شبکه مانند روش بدون شبکه گالرکین^۳ توسط Belytschko et al. (1994)، روش تولید ذرات کرنال^۴ توسط Liu et al. (1995)، روش اجزای محدود افراز واحد^۵ توسط Babuska and Rheinboldt (1980)، روش ابرهای اچ پی^۶ توسط Duarte and Oden (1996)، روش بدون شبکه محلی گالرکین^۷ توسط Atluri et al.

اولین ایده استفاده از روش‌های بدون شبکه در روش هیدرودینامیک ذرات هموار^۱ توسط Gingold and Monaghan (1977) به منظور مدل‌سازی پدیده‌های نجومی مانند گسترش ستارگان و توده ابرهای غباری به کار گرفته شد. پس از انتشار مقاله روش جزء پخش^۲ توسط Nayroles et al. (1992)، روش‌های زیادی به نام

3. Element Free Galerkin
4. Reproducing Kernel Particle Method
5. Partition of Unity Finite Element
6. HP-clouds
7. Meshless Local Petrov Galerkin

1. Smooth Particle Hydrodynamic
2. Diffuse Element

روش توسط Firoozjaee and Afshar (2010) تکمیل شده و در حل مسائل دوبعدی با موفقیت به کار رفته است. در این مقاله سعی شده است معیاری برای وزن‌دهی نقاط همپوش، در روش بدون شبکه حداقل مربعات گسسته همپوش با استفاده از خطاهای برآورد شده^۷ ارائه شود. به این صورت ابزاری برای بهبود جواب‌ها در این روش بدون شبکه اضافه خواهد شد. بدیهی است که پس از به کارگیری فرایندهای نظریف موجود، می‌توان از این روش برای بهبود هرچه بهتر پاسخ‌های نهایی استفاده کرد. در این مقاله در ابتدا فرمول‌بندی روش بدون شبکه حداقل مربعات گسسته همپوش آورده شده است. سپس روش پیشنهادی برای وزن‌دهی ارائه شده و در نهایت چند مسأله نمونه حل شده است. با توجه به اهمیت مدل‌سازی شوک در مسائل هذلولوی، جواب تمامی مسائل حل شده با شوک همراه هستند.

۲- روش بدون شبکه CDLS

معادله دیفرانسیل زیر - که در حوزه Ω تعریف شده - در نظر گرفته شود:

$$L(u) = f \quad \text{in } \Omega \quad (1)$$

مسأله دارای شرط مشتقی مرزی به صورت زیر است:

$$B(u) = g \quad \text{in } \Gamma_f \quad (2)$$

همچنین شرط مرزی طبیعی به صورت زیر تعریف شده است:

$$u = \bar{u} \quad \text{in } \Gamma_u \quad (3)$$

در معادلات بالا L و B عملگرهای دیفرانسیلی و f نیروهای خارجی یا منابعی هستند که بر حوزه مسأله اعمال می‌شوند.

Γ_u و Γ_f به ترتیب مرزهای مشتقی و طبیعی هستند.

اساس روش حداقل مربعات به دست آوردن جواب به

(1999) و غیره ارائه شده‌اند. Afshar and Arzani (2004) در مقاله خود یک روش جدید بدون شبکه را - که کاملاً مبتنی بر فرایند حداقل مربعات^۱ بود - با عنوان حداقل مربعات گسسته^۲ ارائه کردند. روش بدون شبکه حداقل مربعات گسسته همپوش، با افزودن دو ابزار جدید با نام‌های نقاط همپوش و توابع وزنی، به روش حداقل مربعات گسسته موجود حاصل شد (Afshar and Lashckarbolok, 2008). از قابلیت‌های این روش می‌توان به دقت بالا، سادگی، هزینه محاسبه پایین و عدم نیاز به انتگرال‌گیری اشاره کرد. فیروزجایی و افشار (2010) Firoozjaee and Afshar با معرفی روش نیمه افزایشی به حل معادله‌های ناویراستوکس با استفاده از روش حداقل مربعات گسسته همپوش پرداختند. شبیری و افشار مسائل سطح آزاد را با استفاده از این روش حل کردند. آنها همچنین فرایند نظریف تطبیقی^۳ را برای حل این‌گونه جریان‌ها ارائه کردند (Shobeyri and Afshar, 2010).

نظریف تطبیقی در روش‌های عددی ابزاری قدرتمند در حل مسائل مهندسی است. فرایندهای نظریف تطبیقی به طور گسترده‌ای در اجزای محدود محاسباتی بکار رفته‌اند؛ ولی این فرایندها مراحل ابتدایی خود را در روش‌های بدون شبکه طی می‌کنند. در اجزای محدود از سه روش نظریف تطبیقی شامل ریزتر یا درشت‌تر کردن شبکه‌ها^۴، جابجا کردن شبکه‌ها^۵ و تغییر درجه چند جمله‌ای درونیاب^۶ استفاده می‌شود. در روش بدون شبکه حداقل مربعات گسسته همپوش، اولین تلاش در راستای تهیه الگوریتمی برای فرایند نظریف تطبیقی، توسط Afshar and Lashckarbolok (2008) انجام شد. آنها الگوریتمی برای جابجایی نقاط در مسائل یک‌بعدی ارائه دادند. این

1. Least Square
2. Discrete Least square
3. Adaptive Refinement
4. H-refinement
5. R-refinement
6. P-refinement

7. Estimated Error

باقی مانده‌ها در حوزه مسأله $R_k^{(d)}$ ، مرز مشتقی $R_k^{(t)}$ و مرز دریچله $R_k^{(u)}$ به صورت زیر محاسبه می‌شود:

$$R_k^{(d)} = L(u_k) - f(x_k) = \sum_{i=1}^n L(N_i(x_k))u_i - f(x_k) \quad (5)$$

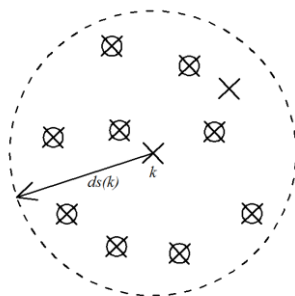
$(k = 1 \dots M)$

$$R_k^{(t)} = B(u_k) - g(x_k) = \sum_{i=1}^n B(N_i(x_k))u_i - g(x_k) \quad (6)$$

$(k = 1 \dots n_t)$

$$R_k^{(u)} = u_k - \bar{u} = \sum_{i=1}^n (N_i(x_k))u_i - \bar{u} \quad (7)$$

$(k = 1 \dots n_u)$



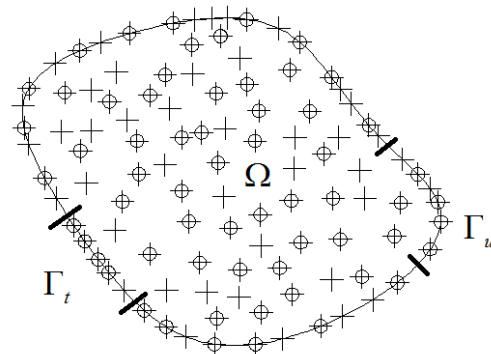
شکل ۲ دامنه تاثیر k امین نقطه همپوش

در این روابط n_t تعداد نقاط همپوش قرار گرفته بر روی نقاط گرهی در مرز مشتقی و n_u تعداد نقاط همپوش واقع بر روی مرز دریچله است. M نیز تعداد کل نقاط همپوش است. مجموع مربعات باقی مانده‌ها به صورت زیر محاسبه می‌شود (Atluri et al., 1999):

$$J = \frac{1}{2} \left(\sum_{k=1}^M W_k [R_k^{(d)}]^2 + \alpha \sum_{k=1}^{n_t} [R_k^{(t)}]^2 + \beta \sum_{k=1}^{n_u} [R_k^{(u)}]^2 \right) \quad (8)$$

پارامترهای α و β ضرایب جریمه نام دارند و نشان دهنده اهمیت بزرگی باقی مانده‌های مرزی در مقایسه با باقی مانده‌های حوزه مسأله است (Atluri et al., 1999). W مقادیر وزنی است که به هر نقطه همپوش نسبت داده می‌شود. تاکنون در پژوهش‌های قبلی این مقدار برای تمامی نقاط همپوش برابر با واحد در نظر گرفته می‌شد. در این مقاله روشی برای تعیین مقادیر وزن در هر نقطه

گونه‌ای است که باقی مانده حاصل از تقریب کمینه شود. در روش دامنه مسأله با استفاده از دو سری نقاط به نام نقاط گرهی و نقاط همپوش گسسته می‌شود. در شکل ۱ دامنه مسأله با استفاده از این دو سری نقطه گسسته شده است.



شکل ۱ نحوه گسسته سازی دامنه مسأله با استفاده از نقاط گرهی و نقاط همپوش

تعداد نقاط در داخل دامنه و روی مرزها برابر با n_p است. علاوه بر نقاط گرهی، از نقاط همپوش در داخل دامنه مسأله و مرزهای آن استفاده می‌شود. در این روش در هر نقطه گرهی، باید یک نقطه همپوش نیز قرار داده شود. در یک نقطه همپوش مانند x_k ، مقدار تابع مجهول u توسط رابطه زیر تقریب زده می‌شود (Gingold et al., 1977):

$$u(x_k) = \sum_{i=1}^{\bar{n}} N_i(x_k).u_i \quad (4)$$

در رابطه (۴) N_i مقدار تابع شکل نام در نقطه همپوش k است. \bar{n} تعداد نقاط گرهی در دامنه k امین نقطه همپوش با مختصات x_k است. این مفهوم دامنه تاثیر در شکل ۲ نشان داده شده است (Belytschko et al., 1994). برای تنظیم دامنه برای هر یک از نقاط همپوش، شعاع d_s به گونه‌ای تعریف می‌شود که تعداد مشخصی از نقاط گرهی در این دامنه تأثیر قرار بگیرند (Belytschko et al., 1994). با جایگزینی معادله (۴) در معادله‌های (۱) تا (۳) مقدار

در اجزای محدود از سه روش تطریف تطبیقی شامل ریزتر کرن یا درشت‌تر کردن شبکه‌ها، جابجا کردن شبکه‌ها و تغییر درجه چند جمله‌ای درون‌یاب استفاده می‌شود. این استراتژی‌ها می‌توانند به تنهایی یا ترکیبی استفاده شوند. در فرایند ریزتر کردن شبکه‌ها، شبکه‌بندی ابتدایی باقی می‌ماند و شبکه‌های جدیدی اضافه خواهند شد. در فرایند حرکت‌دهی شبکه‌ها، تعداد کل نقاط، ثابت باقی می‌ماند ولی محل نقاط طبق خطاهای به دست آمده تغییر می‌کند. در فرایند تغییر درجه چند جمله‌ای درون‌یاب، شبکه‌ها تغییر نمی‌کنند، اما درجه چند جمله‌ای درون‌یاب در سرتاسر دامنه به صورت محلی تغییر می‌کند. مناسبترین روش تطریف به دلیل اینکه تعداد نقاط ثابت می‌ماند، حرکت‌دهی شبکه است. ولی در اجزای محدود به دلیل اینکه المان‌ها بعد از اینکه طبق خطاهای محاسبه شده حرکت داده می‌شوند، بعضی از آنها دچار بد شکلی شده و باعث خراب شدن کل فرایند حل می‌شوند. به همین دلیل در اجزای محدود محبوب‌ترین روش برای تطریف تطبیقی، استفاده از اضافه کردن شبکه‌های جدید است که این امر مستلزم استفاده از هزینه بالاتر است. از آنجا که در روش‌های بدون شبکه، جابجایی نقاط به راحتی امکان‌پذیر می‌باشد، جابجایی تطبیقی نقاط، جزو روش‌های متداول در فرایندهای تطبیقی در روش‌های بدون شبکه است. به جرأت می‌توان گفت مؤثرترین روش بهبود جواب‌ها، استفاده از روش جابجایی تطبیقی نقاط می‌باشد، ولی با وجود تمام مزایای این روش، همچنان محدودیت‌هایی برای آن وجود دارد. به این ترتیب که نمی‌توان نقاط را از حدی بیشتر در منطقه‌ای متمرکز یا پراکنده کرد. در این مقاله روشی برای بهبود جواب‌ها ارائه شده که بدون جابجا کردن نقاط به بهبود جواب‌های روش کمک می‌کند. بنابراین پس از اعمال فرایند جابجایی تطبیقی نقاط، می‌توان با استفاده از این روش به بهبود هر چه بیشتر جواب‌ها پرداخت.

همپوش آرایه شده است. با کمینه کردن رابطه حاصل نسبت به پارامترهای مجهول در نقاط گرهی n_i ، معادلات زیر به دست می‌آیند.

$$KU = F \quad (9)$$

U بردار پارامترهای مجهول در نقاط گرهی و K ماتریس سختی است که از روابط (۱۰) و (۱۱) به دست می‌آیند.

$$K_{ij} = \sum_{k=1}^M W_k L(N_i(x_k))L(N_j(x_k)) + \alpha \sum_{k=1}^{n_i} B(N_i(x_k))B(N_j(x_k)) + \beta \sum_{k=1}^{n_j} N_i(x_k)N_j(x_k) \quad i, j = 1, \dots, n_p \quad (10)$$

$$F_i = \sum_{k=1}^M W_k L(N_i(x_k))f(x_k) + \alpha \sum_{k=1}^{n_i} B(N_i(x_k))g(x_k) + \beta \sum_{k=1}^{n_j} L(N_i(x_k))\bar{u} \quad i = 1, \dots, n_p \quad (11)$$

روابط بالا متقارن بودن ماتریس نهایی را تأیید می‌کنند. ماتریس نهایی به دلیل استفاده از تابع وزن با شعاع تأثیر محدود در محاسبه توابع شکل، نواری خواهد بود. همان‌طور که روابط (۱۰) و (۱۱) نشان می‌دهند ماتریس ضرایب نهایی تنها به تعداد نقاط گرهی بستگی داشته و نقاط همپوش تنها با بهتر تقریب زدن باقی‌مانده‌ها، به بهبود جواب‌ها کمک می‌کنند.

۳- تطریف تطبیقی

تحلیل تطبیقی^۱ یکی از مطالعات مهم در زمینه مهندسی و مکانیک محاسباتی است. هدف نهایی از این تحلیل‌ها، به دست آوردن حل عددی با دقت مطلوب و کمترین هزینه محاسباتی است. هر فرایند تطریف تطبیقی دو بخش اصلی دارد. بخش اول برآورد کننده خطا و دیگری ابزاری برای فرایند تطریف می‌باشد. برآورد کننده‌های خطا ابزاری مهم در هر فرایند تطریف تطبیقی است.

۴- وزن دهی نقاط در مسائل دوبعدی در روش بدون شبکه CDLS

در فرایند پیشنهادی، ابتدا وزن تمامی نقاط در تقریب مقدار تابع، یکسان و برابر با یک قرار داده شده و مسأله حل می شود. سپس مقدار باقی مانده ها در نقاط همپوش با استفاده از روابط (۵) تا (۷) محاسبه شده و به عنوان معیاری برای خطا در این نقاط شمرده می شود. واضح است که هرچه مقدار باقی مانده ها در نقاط همپوش کمتر باشد، مقدار خطا نیز کمتر خواهد بود.

روش وزن دهی پیشنهادی، بر اساس اطلاعات حاصل از برآورد خطاها در نقاط همپوش انجام می شود. از آنجا که خطا در بعضی از نقاط همپوش، مقداری مثبت و در بعضی دیگر، مقدار منفی دارد، قدرمطلق خطای بدست آمده در مرحله قبل محاسبه می شود. به دلیل اختلاف فاحش بین مقادیر خطا در نقاط همپوش، از لگاریتم مقادیر خطا استفاده می شود. با تقسیم این مقادیر بر مقدار بیشینه آنها، مقدار نرمالایز شده آنها به دست آورده خواهد شد. مقدار مطلق به دست آمده از اعداد حاصل، وزن های جدید را بدست می آورد و برای وزن دهی مجدد نقاط همپوش از این مقادیر استفاده خواهد شد. بنابراین وزن پیشنهادی عبارت است از:

$$W_k = \left| \log \frac{|error(k)|}{\max |error(k)|} \right| \quad (12)$$

که در آن W_k وزن جدید منصوب به نقطه همپوش k ام و $error(k)$ مقدار خطای برآورد شده برای نقطه k ام می باشد. حال برای تقریب تابع از این وزن های جدید استفاده می شود. در ادامه سه مسأله نمونه برای بررسی این روش آورده شده است.

۵- مثال های عددی

در تمامی مسائل ارائه شده در این بخش تعداد نقاط داخل هر زیر حوزه، حداقل تعداد مورد نیاز برای اطمینان داشتن

از موجود بودن توابع شکل حداقل مربعات متحرک انتخاب می شود. معیار همگرایی در این مسأله کمتر شدن حداکثر اختلاف بین جواب ها در دو گام زمانی متوالی از عدد مفروض 10^{-5} می باشد. برای حل مسأله از گام زمانی برابر با 0.1 استفاده شده است. برای گسسته سازی حوزه مسأله اول و دوم از 709 نقطه گرهی و 2753 نقطه همپوش که به صورت غیریکنواخت در دامنه توزیع شده اند، استفاده شده است. تعدد نقاط گرهی و همپوش در مسأله سوم به ترتیب برابر با 1409 و 5505 است. تعداد تک جملات موجود در چند جمله ای درون یاب مورد استفاده برای تولید توابع شکل، 6 می باشد.

معادله کلی حاکم بر تمامی مسائل به شکل زیر است:

$$\frac{\partial u}{\partial t} + A \frac{\partial u}{\partial x} + B \frac{\partial u}{\partial y} = 0 \quad \text{on } \Omega \quad (13)$$

۵-۱- مسأله اول: معادله دوبعدی غیرخطی برگر

با جایگذاری $A = u, B = 1$ در معادله (۱۳) معادله حاکم بر مسأله مطابق رابطه (۱۴) به دست می آید که در یک حوزه مربعی تعریف شد است:

$$\frac{\partial u}{\partial t} + u \frac{\partial u}{\partial x} + \frac{\partial u}{\partial y} = 0 \quad (14)$$

$$0 \leq x \leq 1, \quad 0 \leq y \leq 1$$

مسأله دارای سه مرز دریاچه به صورت زیر است:

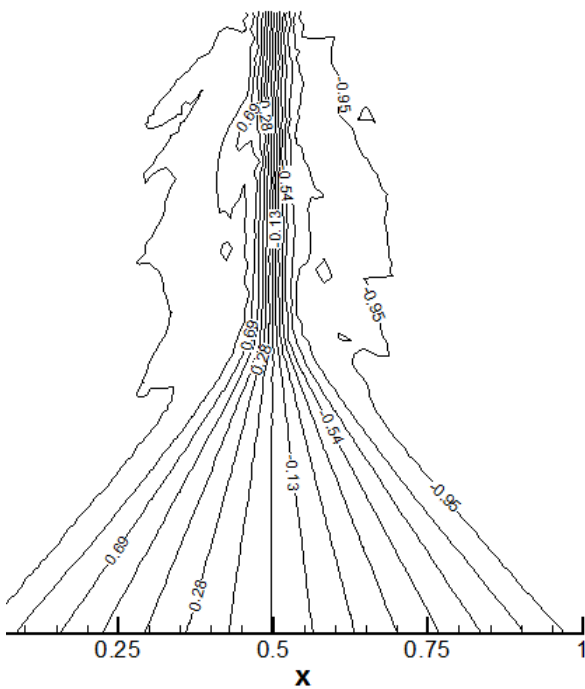
$$u(0, y) = 1 \quad \text{on } (0 \leq y \leq 1)$$

$$u(1, y) = -1 \quad \text{on } (0 \leq y \leq 1)$$

$$u(x, 0) = 1 - 2x \quad \text{on } (0 \leq x \leq 1)$$

جواب دقیق مسأله یک ناپیوستگی دارد که دقیقاً در وسط حوزه قرار خواهد گرفت. مسأله تا رسیدن به حالت دائمی حل می شود. جواب به دست آمده از روش موجود CDLS و بدون استفاده از تابع وزن، در شکل ۳ آورده شده است. با محاسبه مقدار باقی مانده، مقدار خطا در تمامی

نقاط همپوش بدست می آید. نمودار رسم شده در شکل ۴ بیانگر خطا در نقاط همپوش است. با استفاده از خطای



شکل ۳ حل مسئله اول با استفاده از روش CDLS و بدون

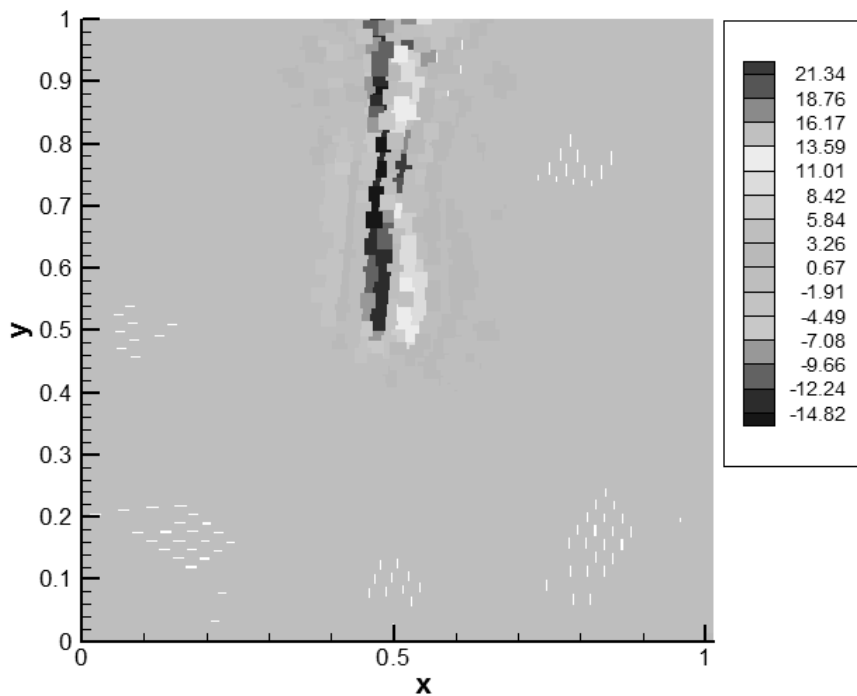
استفاده از تابع وزن

برآورد شده در نقاط و فرمول پیشنهادی در بخش قبل، وزن‌های جدیدی به نقاط همپوش اختصاص داده می‌شود. حال با استفاده از این وزن‌های جدید اختصاص داده شده به نقاط، به حل مجدد مسأله پرداخته می‌شود. جواب مسأله این بار در شکل ۵ آورده شده است. خطای برآورد شده پس از اعمال تابع وزن در شکل ۶ آورده شده است. با مقایسه شکل‌های ۳ و ۵ می‌توان به بهبود جواب‌ها و بهتر مدل شدن شوک پی برد.

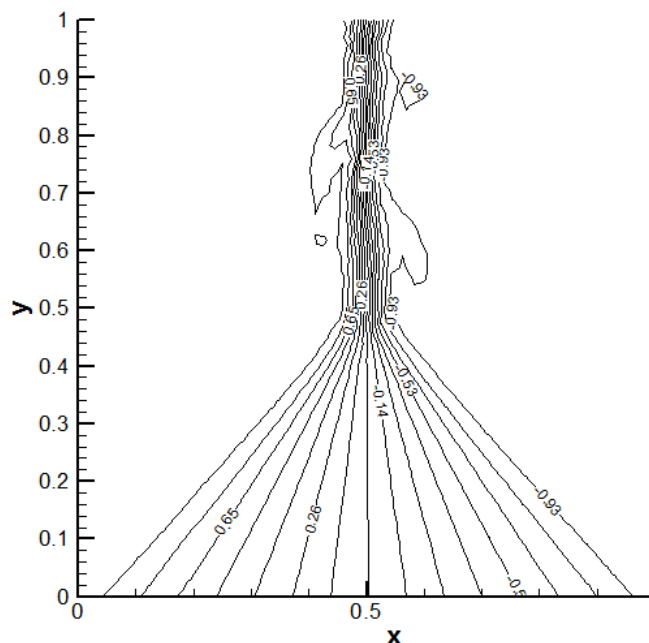
۵-۲- مسأله دوم: معادله انتقال در میدانی با سرعت

ثابت

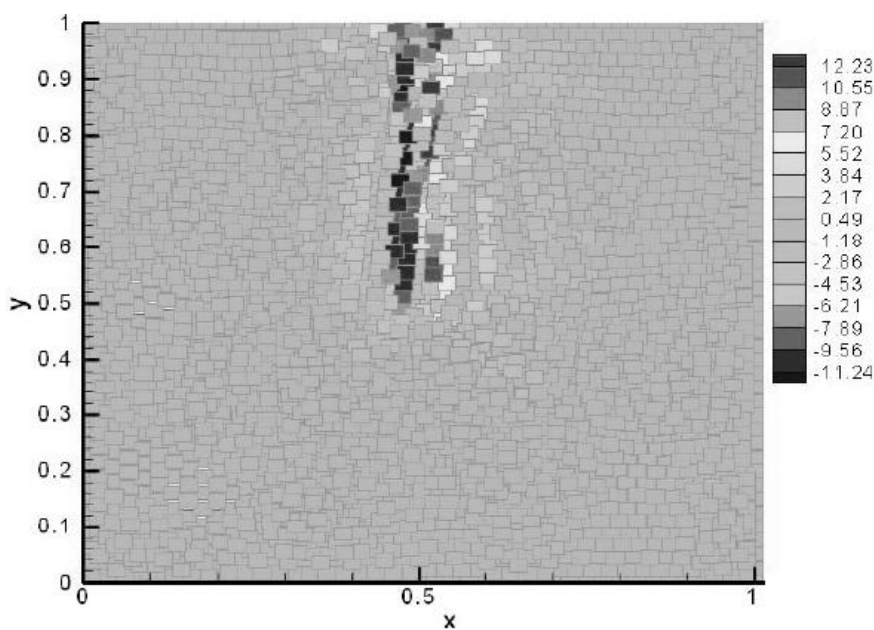
با جایگذاری $A = u$, $B = v$ در معادله (۱۳) معادله حاکم بر مسأله مطابق رابطه (۱۵) به دست خواهد آمد که در یک حوزه مربعی تعریف شد است.



شکل ۴ خطای برآورد شده در مسئله اول بدون استفاده از تابع وزن



شکل ۵ جواب مسأله اول با استفاده از تابع وزن



شکل ۶ خطای برآورد شده در مسأله اول با استفاده از تابع وزن

جواب دقیق مسأله شامل یک شوک است که به صورت قطری در داخل دامنه مربعی قرار گرفته است که دقیقاً در وسط حوزه قرار خواهد گرفت. جواب به دست آمده از روش موجود CDLS و بدون استفاده از تابع وزن، در شکل ۷ آورده شده است.

$$\frac{\partial u}{\partial t} + u \frac{\partial u}{\partial x} + v \frac{\partial u}{\partial y} = 0 \quad 0 \leq x \leq 1 \quad 0 \leq y \leq 1 \quad (15)$$

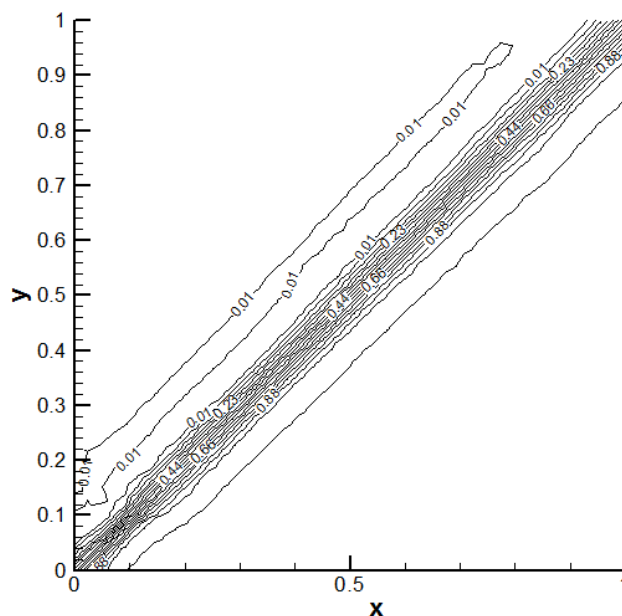
شرایط مرزی طبیعی مسأله به صورت زیر است:

$$u = 0 \quad \text{on } x = 0, \quad 0 \leq y \leq 1$$

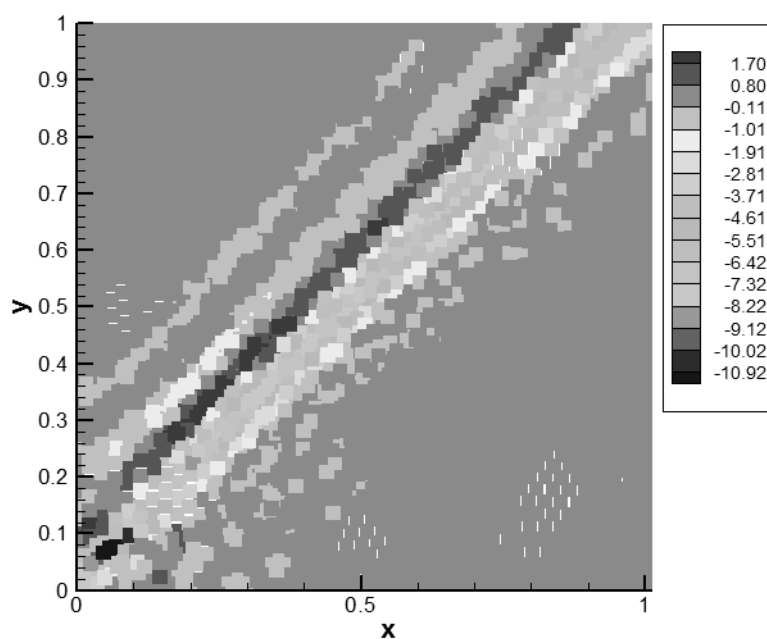
$$u = 1 \quad \text{on } y = 0, \quad 0 \leq x \leq 1$$

می‌توان به بهتر مدل شدن شوک در اثر اعمال تابع وزن پی برد. خطای به‌دست آمده از حل مجدد مسأله با استفاده از وزن های اختصاص داده شده به صورت نمودار (۱۰) می‌باشد.

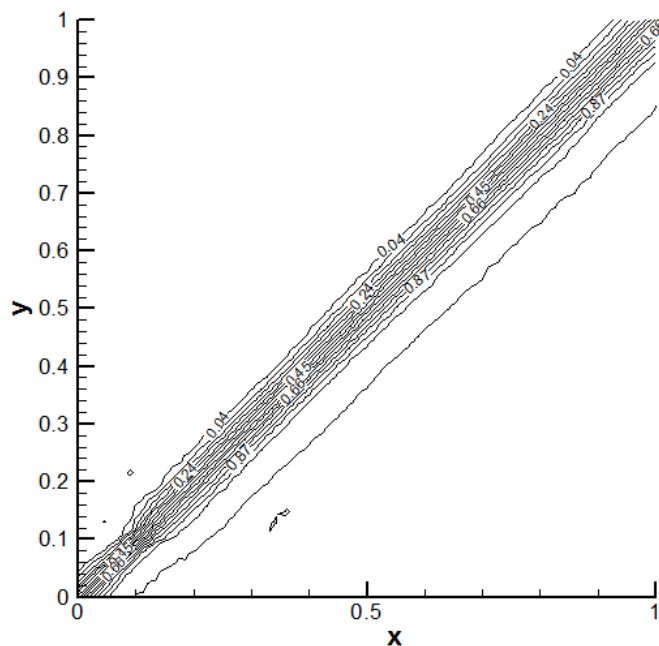
خطای برآورد شده در نقاط مختلف محاسبه شده و در شکل ۸ ارایه شده است. با استفاده از این مقادیر خطا و روش پیشنهادی، وزن‌های جدید به نقاط اختصاص داده می‌شود. با استفاده از این وزن‌های جدید، جواب مسأله به صورت شکل ۹ بدست می‌آید. با مقایسه شکل‌های ۷ و ۹



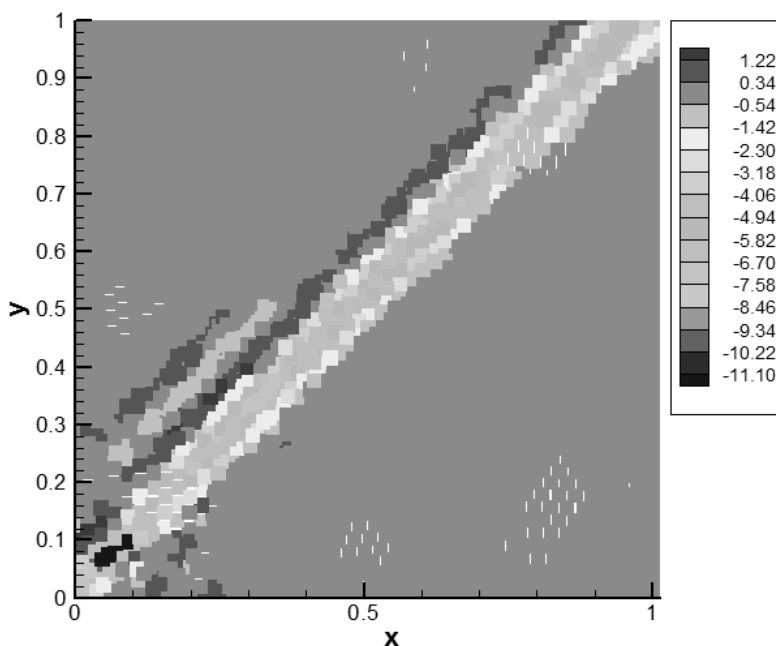
شکل ۷ جواب مسأله اول بدون استفاده از تابع وزن



شکل ۸ خطای برآورد شده در مسأله دوم بدون استفاده از تابع وزن



شکل ۹ جواب مسأله دوم با استفاده از تابع وزن



شکل ۱۰ خطای برآورد شده مسأله دوم با استفاده از تابع وزن

۵-۳- مسأله سوم: معادله انتقال در میدانی با

سرعت متغیر

با جایگذاری $A = y$, $B = -x$ در معادله (۱۳) معادله

حاکم بر مسأله مطابق رابطه (۱۶) به دست خواهد آمد که

در یک حوزه مربعی تعریف شد است.

$$\frac{\partial u}{\partial t} + y \frac{\partial u}{\partial x} - x \frac{\partial u}{\partial y} = 0 \quad (16)$$

$$-1 \leq x \leq 1, \quad 0 \leq y \leq 1$$

شرایط مرزی مسأله به صورت زیر است:

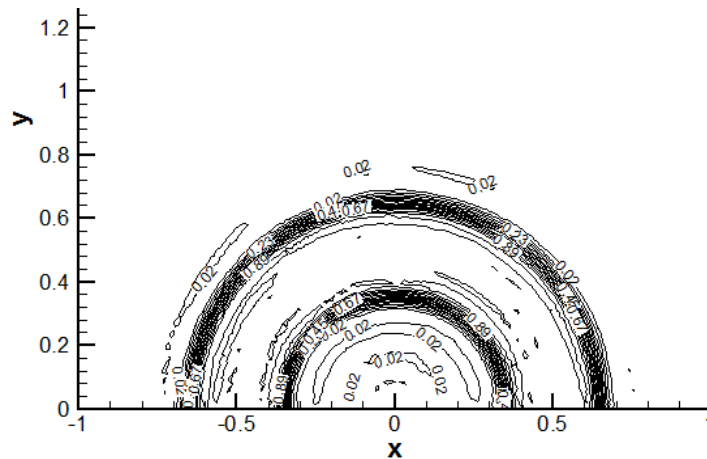
مقدار خطای واقعی در شکل ۱۳ آورده شده است. خطای برآورد شده در نقاط همپوش محاسبه شده و در شکل ۱۴ نشان داده شده است. با استفاده از این مقادیر خطا و روش پیشنهادی، وزن‌های جدید به نقاط اختصاص داده می‌شود. جواب مسأله به صورت شکل ۱۵ بدست می‌آید. خطای به دست آمده از حل جدید مسأله در شکل ۱۶ آمده است. در این مسأله به منظور ارزیابی کمی تأثیر وزن‌دهی، جدول ۱ تهیه شده است. همان‌طور که این جدول نشان می‌دهد، استفاده از روش وزن‌دهی تطبیقی باعث بهبود نتایج روش CDLS خواهد شد.

$$\begin{aligned} u(-1, y) &= 1 & \text{on} & \quad 0 \leq y \leq 1 \\ u(x, 1) &= 0 & \text{on} & \quad 0.5 \leq x \leq 1 \\ u(x, 0) &= 0 & \text{on} & \quad 0.35 \leq x \leq 1 \\ u(x, 0) &= 0 & \text{on} & \quad -1 \leq x \leq -0.65 \\ u(x, 0) &= 1 & \text{on} & \quad -1 \leq x \leq -0.65 \end{aligned}$$

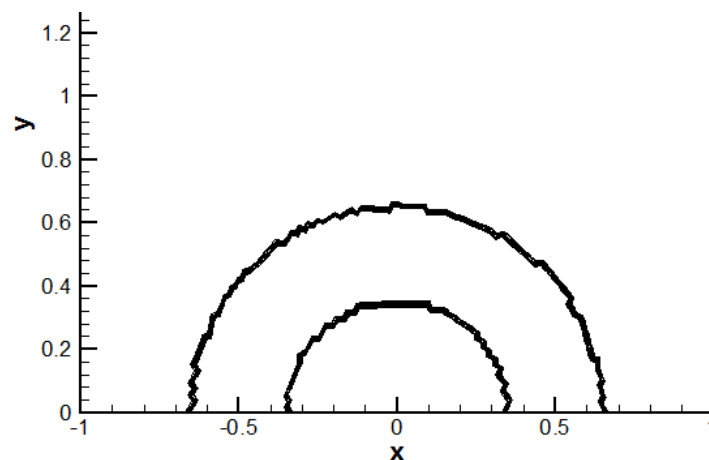
جواب تحلیلی این مسأله به صورت زیر است:

$$\begin{cases} u(x, y) = 1 & 0.35 \leq (x^2 + y^2)^{0.5} \leq 0.65 \\ u(x, y) = 0 & \text{otherwise} \end{cases} \quad (17)$$

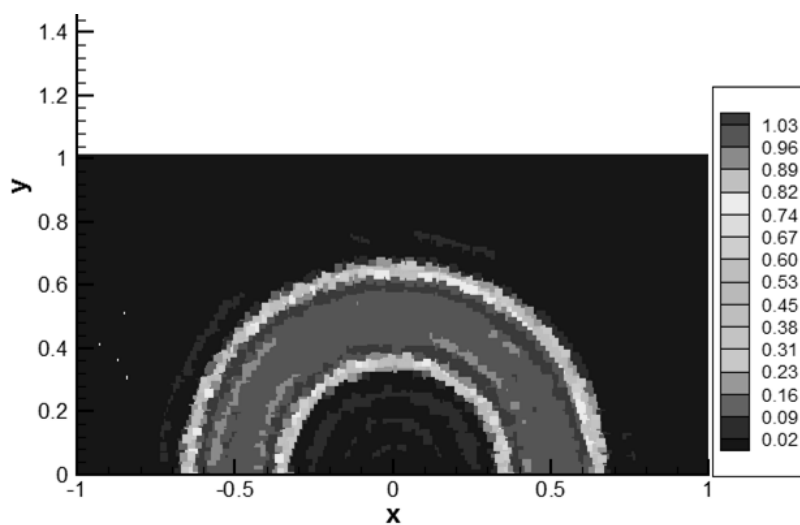
مسأله تا رسیدن به حالت دائمی حل می‌شود. جواب به دست آمده از روش موجود CDLS و بدون استفاده از تابع وزن، در شکل ۱۱ آورده شده است. از آنجا که جواب دقیق مسأله در دسترس است، می‌توان خطای واقعی را محاسبه کرد. جواب دقیق مسأله در شکل ۱۲ و



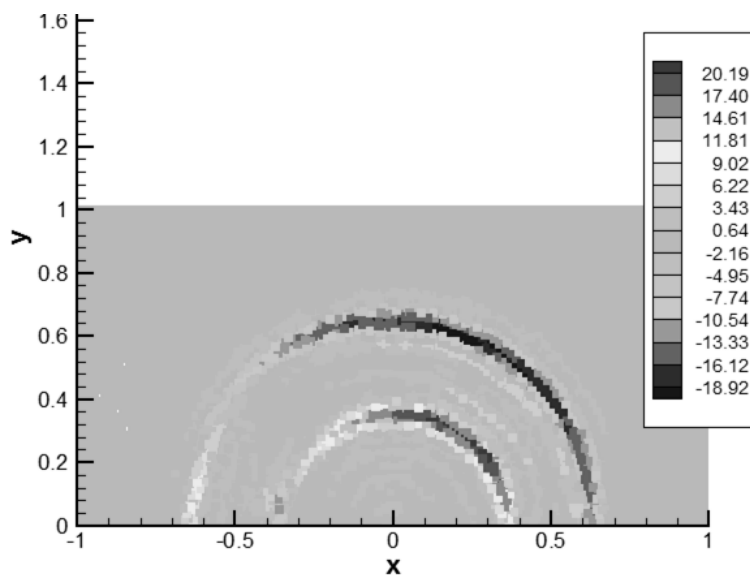
شکل ۱۱ حل مسأله سوم بدون استفاده از تابع وزن



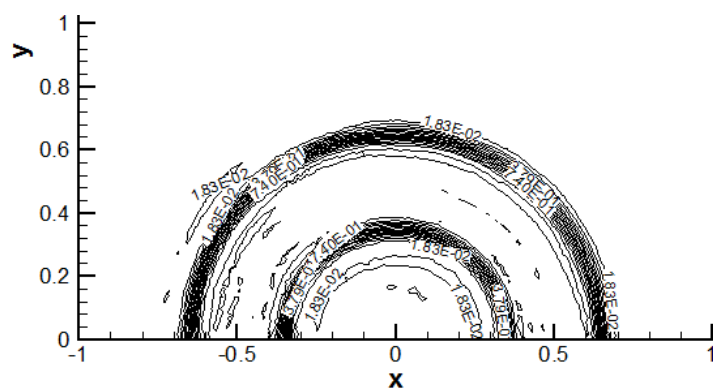
شکل ۱۲ جواب دقیق مسأله سوم



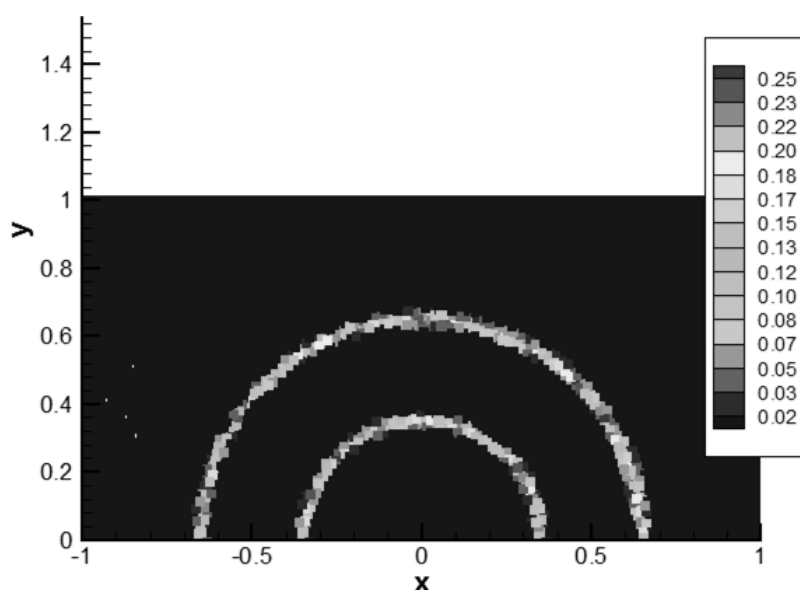
شکل ۱۳ خطای واقعی مسأله سوم قبل از استفاده از تابع وزن



شکل ۱۴ خطای برآورد شده مسأله سوم بدون استفاده از تابع وزن



شکل ۱۵ جواب مسأله سوم با استفاده از تابع وزن



شکل ۱۶ خطای واقعی مسأله سوم پس از استفاده از تابع وزن

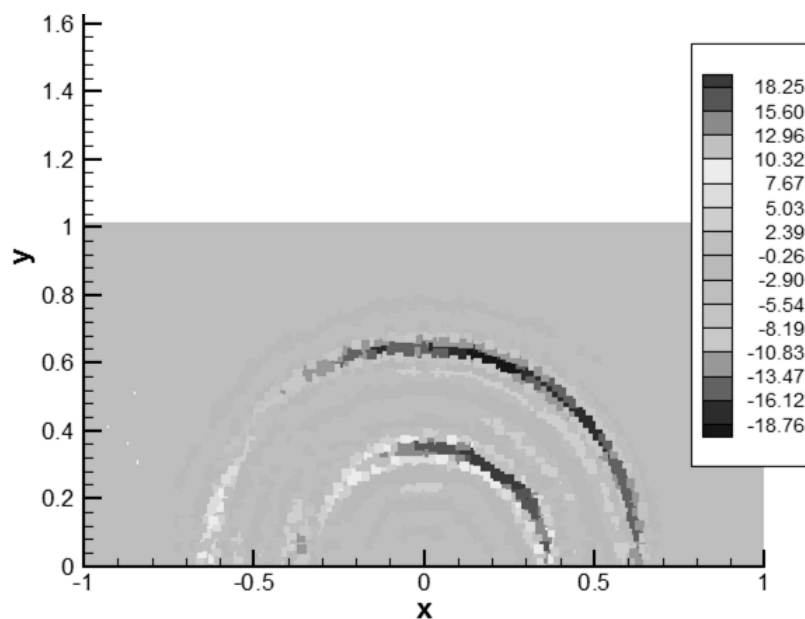
با یک ناپیوستگی همراه بوده است. در مسأله اول مقدار پیشینه خطای برآورد شده با حل به روش معمول CDLS برابر با $21/34$ بوده که پس از حل با روش ارائه شده، این مقدار خطا به $12/23$ کاهش پیدا کرده است. در همین مسأله با مقایسه بین خطوط همتراز رسم شده برای جواب‌ها نیز می‌توان به بهتر شده کیفیت مدل شدن شوک پی برد. در مسأله دوم نیز با مقایسه شکل‌های ۷ و ۹ کارایی روش ارائه شده در حذف برخی از نوسان‌های نزدیک ناپیوستگی، مشخص می‌شود. در مسأله سوم علاوه بر نشان دادن مزیت روش ارائه شده، به بررسی عملکرد برآورد کننده خطا نیز پرداخته شده است. همان‌طور که شکل‌های ۱۶ و ۱۷ نشان می‌دهند، برآورد کننده خطا به خوبی رفتار خطای واقعی را نشان داده است. به این ترتیب نتایج حاصله بیان‌گر بهبود نتایج و بهتر تقریب زده شدن ناپیوستگی‌ها با استفاده از ابزار پیشنهادی است. با این حال با توجه به اینکه جابجایی نقاط مؤثرترین روش برای بهبود جواب‌هاست، پیشنهاد می‌شود پس از اعمال فرایند جابجایی تطبیقی نقاط، با استفاده از روش ارائه شده به بهبود هر چه بیشتر جواب‌ها پرداخته شود.

جدول ۱ اثر تابع وزن بر مقدار خطای واقعی در مسأله سوم

مجموع اندازه خطا	بیشترین اندازه خطا	کمترین اندازه خطا	
۴۴/۹	۱/۰۵	$2/5 \times 10^{-25}$	بدون استفاده از تابع وزن
۴۴/۵	۰/۲۶	$4/9 \times 10^{-28}$	با استفاده از تابع وزن

۶- نتیجه‌گیری

در این مقاله یک روش کم هزینه به نام وزن‌دهی تطبیقی در روش حداقل مربعات گسسته همپوش برای بهبود نتایج حاصل ارائه شد. در این روش از باقی مانده‌ها به‌عنوان معیار برآورد کننده خطا استفاده شده است. وزن‌دهی نقاط در این روش با استفاده از مقادیر برآورد شده خطاها در هر نقطه همپوش صورت می‌گیرد. با این وزن‌دهی، در مراحل حل به روش حداقل مربعات، تمرکز بیشتری روی مناطقی با خطای بالا شده و بدین صورت می‌توان انتظار داشت که جواب‌ها در این نقاط با کیفیت بهتری بدست آیند. برای بررسی روش ارائه شده، سه مسأله نمونه حل شده است. در تمامی این مسائل، جواب



شکل ۱۷ خطای برآورد شده مسأله سوم پس از استفاده از تابع وزن

W مقادیر وزنی اختصاص داده شده به هر نقطه گرهی همپوش
 W_k وزن جدید منصوب به نقطه همپوش k ام
 x_k نقطه همپوش واقع در داخل حوزه مسأله و یا روی مرز
 α ضریب پنالتی
 β ضریب پنالتی
 Γ_t مرز مشتقی
 Γ_u مرز طبیعی
 Ω حوزه مسأله
 $error(k)$ مقدار خطای برآورد شده در k امین نقطه همپوش

۸- منابع

Afshar M.H. and Lashckarbolo M. (2008). "Collocated discrete least-squares (CDLS) meshless method: Error estimate and adaptive refinement", International Journal for Numerical Methods in Fluids, Vol. 56(10), pp. 1909-1928.

Afshar M.H. and Arzani H. (2004). "Solving Poisson's equations by the Discrete Least Square meshless method", WIT Transactions on Modelling and Simulation, Vol. 42, pp. 23-32.

Atluri S.N., Kim H.G. and Cho J.Y. (1999). "A critical assessment of the truly meshless local Petrov-Galerkin (MLPG) and local boundary integral equation (LBIE) methods", Comput. Mech, Vol. 24, pp. 348-372.

۷- فهرست علائم

B	عملگر دیفرانسیلی
f	نیرو یا منابع اعمال شده بر حوزه مسأله
d_s	شعاع دامنه تاثیر یک نقطه همپوش
J	مجموع مربعات باقی مانده‌ها در حوزه مسأله و مرزها
K	ماتریس سختی
L	عملگر دیفرانسیلی
M	تعداد کل نقاط همپوش
N_i	مقدار تابع شکل i ام در k امین نقطه همپوش
n_p	تعداد نقاط گرهی واقع در حوزه مسأله و روی مرزها
n_t	تعداد کل نقاط همپوش قرار گرفته بر روی نقاط گرهی در مرز مشتقی
n_u	تعداد کل نقاط همپوش قرار گرفته بر روی نقاط گرهی در مرز دریچله
\bar{n}	تعداد نقاط گرهی در دامنه k امین نقطه همپوش
$R_k^{(d)}$	مقدار باقی مانده در حوزه مسأله
$R_k^{(t)}$	مقدار باقی مانده در مرز مشتقی
$R_k^{(u)}$	مقدار باقی مانده در مرز دریچله
U	بردار پامترهای مجهول در نقاط گرهی
$u(x_k)$	تابع تقریب زننده مقدار تابع مجهول u در k امین نقطه همپوش

- Gingold R.A. and Monaghan J.J. (1977). "Smooth Particle Hydrodynamics: theory and application to non spherical stars", *Man. Not. Roy. Astron. Soc.* Vol. 181, pp. 375-389.
- Liu WK, Jun S. and Zhang Y. (1995). "Reproducing kernel particle methods", *Int. J. Numer. Meth. Eng.*, Vol. 20, pp. 1081-1106.
- Nayroles B. and Touzot. G., Villon. P. (1992). "Generalizing the finite element method diffuse approximation and diffuse element", *Comput. Mech.*, Vol. 10, pp. 307-318.
- Shobeyri. G. and Afshar M.H. (2010). "Efficient simulation of free surface flows with discrete least-squares meshless method using a priori error estimator", *International Journal of Computational Fluid Dynamics*, Vol. 24(9). pp. 349-367.
- Babuska. I. and Rheinboldt W.C. (1980). "Reliable error estimation and mesh adaptation for the finite element method", In *Computational Methods in Nonlinear Mechanics*, (ed. J.T. Oden), pp. 67-108.
- Belytschko T., Lu Y.Y. and Gu L. (1994). "Element-free Galerkin methods", *Int. J. Numer. Meth. Eng.*, Vol. 37, pp. 229-256.
- Duarte A. and Oden J.T. (1996). "An H-P adaptive method using clouds", *TICAM report*, pp. 96-97.
- Firoozjaee A.R. and Afshar M.H. (2010). "Steady-state solution of incompressible Navier-Stokes equations using discrete least-squares meshless method", *International Journal for Numerical Methods in Fluids*, Vol. 67 (3), pp. 369-382.
- Firoozjaee, A.R. and Afshar M.H. (2010). "Adaptive simulation of two dimensional hyperbolic problems by collocated discrete least squares meshless method", *Computers & Fluids*, pp. 2030-2039.